平成24年度火薬類の包装等に係る調査研究事業報告書 補足資料2

攪拌実験における規模効果の検討

平成26年2月28日 独立行政法人 産業技術総合研究所

〔目次〕 1. 概要 2. 実験・解析の実施条件と解析結果 3. 力積の評価 4. まとめ

1. 概要

この文書は、小規模の攪拌実験について記した報告書5.1.節(攪拌実験)を補足するものである。 小規模実験2(5.1.2.節)および中規模実験(5.1.3.節)において、包装材で覆われた箱が受ける力積を 攪拌シミュレーションの結果(5.4.1.節)をもとに検討した。

2. 実験・解析の実施条件と解析結果

表1に実験および解析(攪拌シミュレーション)の実施条件を整理した。解析の結果も示した。 解析の結果からは、力積は攪拌時間に比例するとみなしてよいこと、回転数を上げると力積がわず かに増えることが確認されている。

| | | 実験 | | 解析 | |
|---------------------------------|---------------------------|---------------------------|-------------|----------------------------|---------|
| | 諸元 | 小規模実験 2 | 中規模実験 | ケース 1 | ケース 2 |
| | | (5.1.2.節) | (5.1.3.節) | (5.4.節) | (5.4.節) |
| 攪 <u>拌機</u> (ミキサー) | 口径×胴径×深さ mm | 345×600×601 | 550×850×820 | 496×845×820 | |
| | 混合羽根 枚 | 2 | 3 | 1 | |
| | 容量 ℓ | 70 | 150 | _ | |
| 攪拌物 (模擬土砂) | 砕石の岩質 | 砂岩#1 | 硬質砂岩 | モデル砕石 | |
| | 密度 g/cm³ | 2.65 | 2.65 | 2.65 | |
| | 2 号砕石量 kg | 25 | 50 | 50 | |
| | 3 号砕石量 kg | 25 | 50 | 50 | |
| | 水 kg | 10 | 20 | 0 | |
| 6 号雷管の箱 | 縦×横×高さ mm 〔6 面の表面積 m²〕 | 120×160×90 [0.088 800] | 325×325×115 | 325×325×115 (0.360 750) | |
| KONEL 雷管の箱 | 縦×横×高さ mm 〔6 面の表面積 m²〕 | 150×300×90 [0.171 000] | [0.360 750] | | |
| 攪拌時間 分 | | 60 | 60 | 3 | 3 |
| 回転数 rpm | | 32 | 14 | 14 | 28 |
| 外周速度 <i>V</i> ^{#2} m/s | | 1.0053 | 0.6231 | 0.6194 | 1.2388 |
| | | 解析の結果 | | | |
| 箱にかかる最大荷重 kN | | _ | _ | 10 | 18 |
| 箱にかかる力積 I ^{#3} kN·s | | _ | _ | 112.94 | 121.94 |
| 最大落下速度 | 箱 m/s | _ | _ | 2.4 | 2.6 |
| | 2 号砕石 m/s | _ | _ | 2.8 | 3.4 |
| | 3 号砕石 m/s | _ | _ | 2.2 | 3.5 |

表 1. 実験および解析の実施条件と、解析の結果

^{#1} 一部に粘性岩を層状に含む。

^{#2} V= (攪拌機の胴径)×(円周率)×(回転数)/60

^{#3} 出力値をそのまま記した。

3. 力積の評価

ケース 1・ケース 2 のそれぞれにおいて,解析で得た荷重の時間履歴は図 1 のようになった。横軸は時間,縦軸は荷重である。包装材で覆われた箱の表面に作用する力積 I は,(eq.1) のように,荷重 f を時間 f で積分して得られる。

$$I = \int f(t) \, \mathrm{d}t \tag{eq.1}$$

また、箱にかかる力積I [kN·s]は箱の表面積S [m²]、攪拌時間T [s]に比例することから、(eq.2) のようにも表すことができる。ただし、i [kN·s/(m²·s)]は単位時間・単位面積あたりの力積とする。

$$I = S T i (eq.2)$$

図1の20~25 秒の部分を拡大したものをそれぞれ図2に示す。図1と図2とから、衝突は一様に起こる訳ではなく、およそ最大荷重が2.5 kN以下で1秒近くにわたって続く「鈍い衝突」と、ピーク状となって現れる不定期な「鋭い衝突」とが混在していることがわかる。鋭い衝突はピーク荷重が大きいことから包装材に与える損傷も大きくなるのではないかと考え、本報告ではこの2種の衝突を区別して取り扱った。

これらを分離するため、今回は鋭い衝突を「荷重出力履歴において直前の時刻点からの変化が+2.5 kN 以上となるピーク」とした。力積 i を(eq.3)のように、2.5 kN 以上の鋭い衝突に由来する部分 i_1 と、それ以外の部分 i_0 とに分けた。図 2 では各ケースで上段に i、中段に i0、下段に i1を示した。

$$i = i_0 + i_1 \tag{eq.3}$$

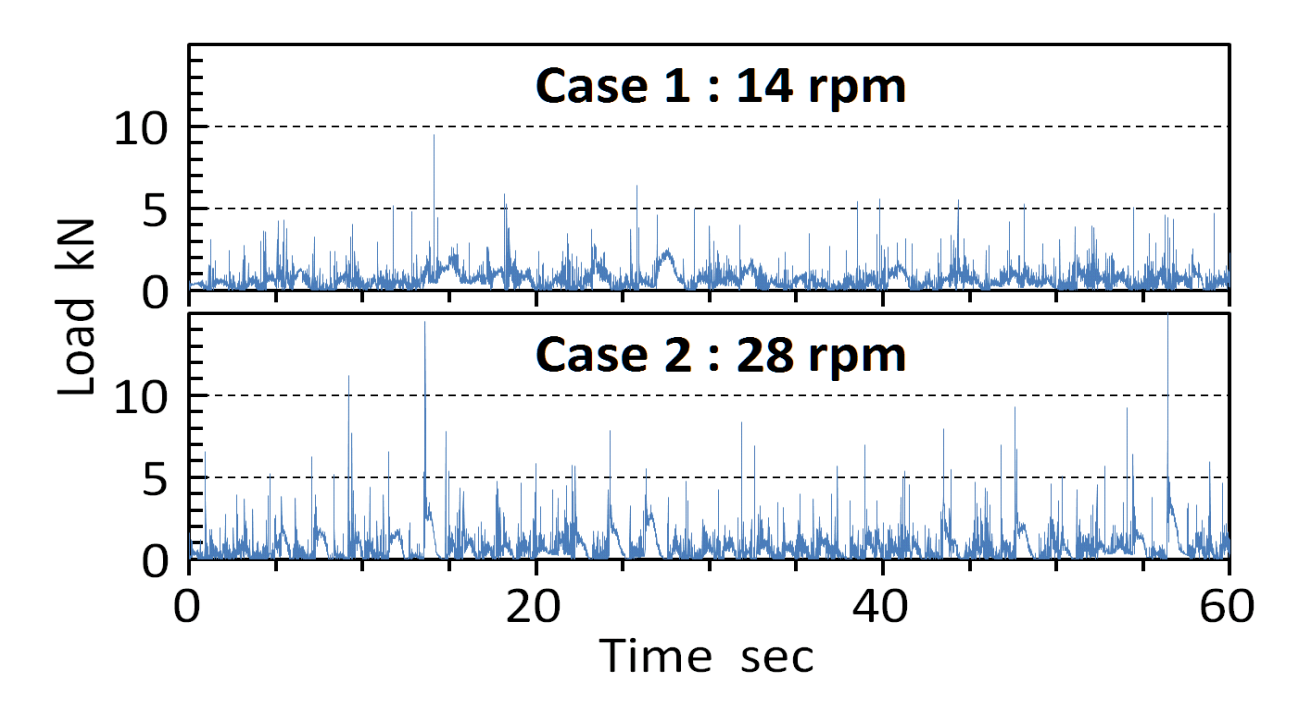
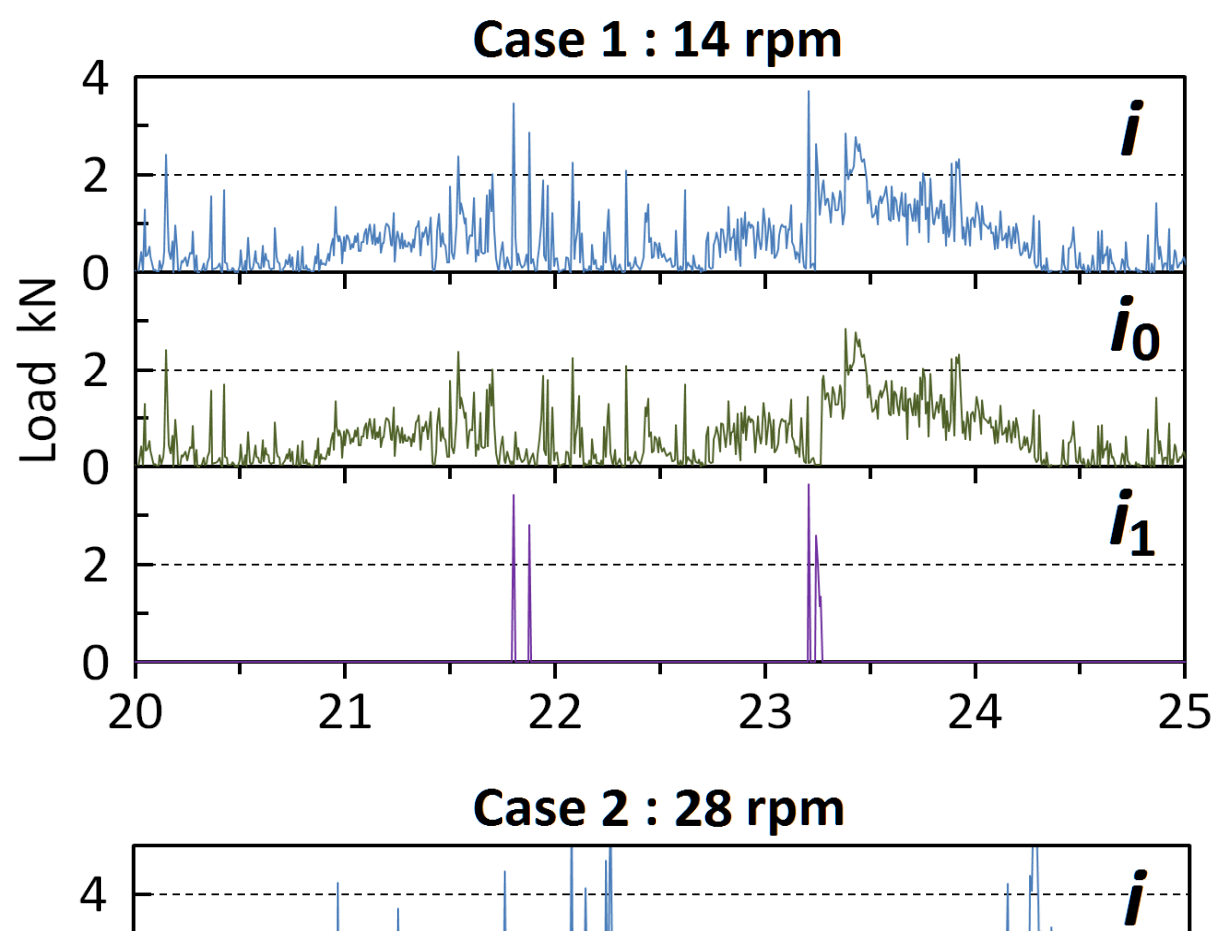


図 1. 箱にかかる荷重 報告書 p.88 の図 4.1-5, p.99 の図 4.1-12 のスケールを変えたものである。



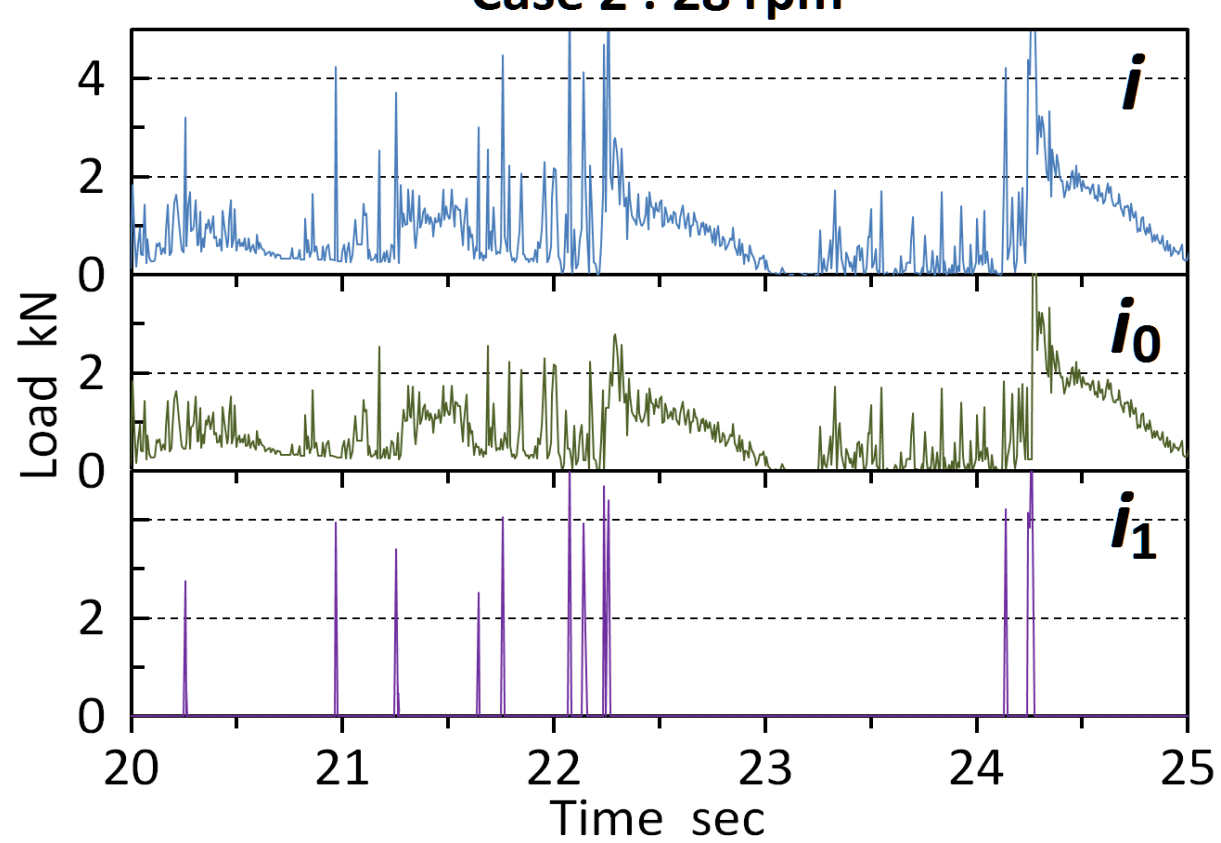


図2. 箱にかかる荷重

上段:解析の出力 中段:上段と下段との差

下段:抽出した 2.5 kN 以上のピーク

表 2. 力積 i に占める鋭い衝突 $^{\#}i_{1}$ の影響

| | | 外周速度 V m/s | 単位時間・単位面積あたり力積 [kN·s/(m²·s)] | | | |
|-------|-------------------------|---------------|--------------------------------------------|----------------------------------------|-----------------------------------------|--|
| | | | i ₀ (i ₁ に含まない部分) | i ₁ (鋭い衝突の部分) | <i>i</i> (合計) | |
| ケース1 | 胴径 850 mm 回転数 14 rpm | 0.6194 | $106.98 \times \frac{1}{ST}$ $= 1.6475$ | $5.96 \times \frac{1}{ST}$ $= 0.0918$ | $112.94 \times \frac{1}{ST}$ $= 1.7393$ | |
| ケース 2 | 胴径 850 mm 回転数 28 rpm | 1.2388 | $106.55 \times \frac{1}{ST}$ $= 1.6409$ | $15.38 \times \frac{1}{ST}$ $= 0.2369$ | $121.94 \times \frac{1}{ST}$ $= 1.8779$ | |

直前の出力点からの荷重の変化が 2.5 kN 以上のピーク解析では、箱の表面積 S は $S=0.360750 \text{ m}^2$ 、攪拌時間 T は T=180 秒としている。

ケース 1 とケース 2 に対して i_0 と i_1 を求めた結果を表 2 に示す。鋭い衝突の寄与 i_1 は小さいことがわかる。また i_0 は両者ともに 1.64 kN·s/(m^2 ·s) 程度で大きな差はなく,攪拌機の回転数の増加は,鋭い衝突 i_1 の寄与が増えることに結びつくものとみなせる。

実験における速度の代表値として容器の外周速度 V を参照し、V が k 倍になったとき力積 i_1 は k^4 倍になると仮定する。このとき、 i_1 は A,B を定数として以下の (eq.4) で書ける。

$$i_1 = B V^A \tag{eq.4}$$

表 2 の関係から定数を見積もると A=1.37, B=0.17670 となった。また, i_0 はケース 1・ケース 2 の 平均から $i_0=1.6441$ kN·s/(\mathbf{m}^2 ·s) とした。このとき,力積 i の予測値は(eq.5) となる。

$$i = i_0 + i_1$$

= 1.6441 + 0.17670 $V^{1.37}$ (eq.5)

外周速度 V は、表 1 より、小規模実験 2 では 1.0053 m/s、中規模実験では 0.6231 m/s であるから、単位時間・単位面積あたりの力積 i の予測値は、(eq.5) から以下のようになる。

単位時間·単位面積あたりの力積 i の予測値

- ・小規模実験 2 力積 $i = 1.6641 + 0.17670 \times 1.0053^{1.37} = 1.84 \text{ kN·s/(m}^2 \cdot \text{s})$
- ・中規模実験 力積 $i = 1.6641 + 0.17670 \times 0.6231^{1.37} = 1.76 \text{ kN·s/(m}^2 \cdot \text{s})$

力積iは、中規模実験のときよりも小規模実験 2 のときのほうが 5%程度大きいと見積もれた。 包装材に与える損傷と力積iとの相関関係が高いと仮定するならば、中規模実験と小規模実験 2 との差がたかだか 5%程度であることから、両者はほぼ同程度の損傷を与えると考えられる。

4. まとめ

攪拌シミュレーションから得た荷重の履歴から、鈍い衝突 と鋭い衝突 とが混在していることがわかった。また、攪拌機の回転数が大きくなることで、鋭い衝突の最大荷重や頻度が大きくなることが確認された。

攪拌機の外周速度から箱が受ける力積を見積もったところ、箱が受ける単位面積あたりの力積は、中規模実験のときよりも小規模実験2のときのほうが5%程度大きいと見積もれた。

包装材に与える損傷と力積iとの相関関係が高いと仮定するならば、中規模実験と小規模実験2との差がたかだか5%程度であることから、両者はほぼ同程度の損傷を与えると考えられる。